

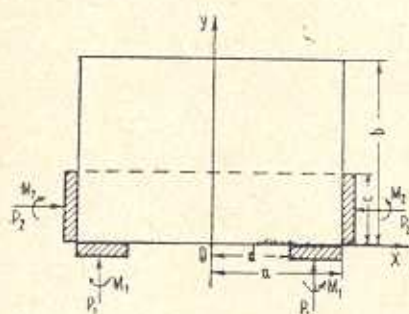
А. А. БАБЛОЯН, Н. О. ГУЛКАНЯН

ПЛОСКАЯ ЗАДАЧА ТЕОРИИ УПРУГОСТИ ДЛЯ
 ПРЯМОУГОЛЬНИКА СО СМЕШАННЫМИ ГРАНИЧНЫМИ
 УСЛОВИЯМИ

Решается плоская задача теории упругости для прямоугольника, когда на трех сторонах прямоугольника граничные условия заданы в смешанном виде, а на одной стороне заданы нагрузки.

Задача решается при помощи функции напряжений Эри методом, использованным в работах [1—4].

1. Рассмотрим плоскую задачу для прямоугольника, сжимаемого по трем кромкам расположенными у краев жесткими штампами (фиг. 1). Предполагается, что штампы расположены симметрично относительно оси „Oy“. На остальных частях границы прямоугольника заданы внеш



Фиг. 1

ние усилия, также симметричные относительно оси „Oy“. В силу симметрии задачу будем решать только для одной половины области прямоугольника, удовлетворяя при этом условиям симметрии

$$\tau_{xy}(0, y) = 0, \quad u(0, y) = 0 \quad (1.1)$$

и следующим граничным условиям:

$$\begin{aligned} \tau_{xy}(x, b) &= 0 & (0 \leq x \leq a) \\ \tau_{xy}(a, y) &= 0 & (0 \leq y \leq b) \\ \tau_{xy}(x, 0) &= 0 & (0 \leq x \leq a) \end{aligned} \quad (1.2)$$

$$\begin{aligned} u(a, y) &= f_3(y) \quad (0 \leq y \leq c), & \sigma_x(a, y) &= f_2(y) \quad (c \leq y \leq b) \\ v(x, 0) &= f_5(x) \quad (d \leq x \leq a), & \sigma_y(x, 0) &= f_4(x) \quad (0 \leq x \leq d) \\ \sigma_y(x, b) &= f_1(x) \quad (0 \leq x \leq a) \end{aligned} \quad (1.3)$$

Бигармоническую функцию, через которую определяются все напряжения и перемещения, ищем в виде

$$\begin{aligned} \Phi(x, y) = & \sum_{k=1}^{\infty} [A_k \operatorname{sh} \alpha_k y + B_k \operatorname{ch} \alpha_k y + C_k \alpha_k y \operatorname{sh} \alpha_k y + \\ & + D_k \alpha_k y \operatorname{ch} \alpha_k y] \cos \alpha_k x + \sum_{k=1}^{\infty} [F_k \operatorname{ch} \beta_k x + G_k \beta_k x \operatorname{sh} \beta_k x] \cos \beta_k y + \\ & + C_1 x^2 + C_2 y^2 \end{aligned} \quad (1.4)$$

где

$$\alpha_k = \frac{k\pi}{a}, \quad \beta_k = \frac{k\pi}{b}$$

Выбором функции $\Phi(x, y)$ в виде (1.4) и $f_0 = 0$ в выражении перемещений [2] будут удовлетворены условия (1.1).

Удовлетворяя условиям (1.2), между коэффициентами разложения получим соотношения

$$\begin{aligned} A_k &= -D_k \\ F_k &= -[1 + \beta_k a \operatorname{cth} \beta_k a] G_k \\ B_k &= -C_k [1 + \alpha_k b \operatorname{cth} \alpha_k b] - \alpha_k b D_k \end{aligned} \quad (1.5)$$

Разлагая функцию $f_1(x)$ в ряд Фурье по косинусам в интервале $[0, a]$

$$f_1(x) = \frac{a_0}{2} + \sum_{k=1}^{\infty} a_k \cos \alpha_k x \quad (1.6)$$

и удовлетворяя последнему условию (1.3), для определения одного из коэффициентов C_k или D_k получим бесконечную систему алгебраических уравнений

$$\begin{aligned} D_k \operatorname{sh} \alpha_k b + C_k \left[\operatorname{ch} \alpha_k b + \frac{\alpha_k b}{\operatorname{sh} \alpha_k b} \right] = \\ = \frac{4(-1)^k}{a} \sum_{p=1}^{\infty} (-1)^{p+1} G_p \frac{\beta_p^3}{(\beta_p^2 + \alpha_k^2)^2} \operatorname{sh} \beta_p a + \frac{a_k}{\alpha_k^2} \end{aligned} \quad (1.7)$$

Удовлетворяя затем смешанным граничным условиям (1.3), для определения остальных коэффициентов получим следующие системы парных рядов-уравнений:

$$\begin{aligned} \sum_{k=1}^{\infty} \beta_k G_k \operatorname{sh} \beta_k a \cos \beta_k y + C_2 a = \frac{E}{2} f_3(y) + \nu a \frac{a_0}{4} \\ (0 \leq y \leq c) \\ \sum_{k=1}^{\infty} \beta_k^2 \left(\operatorname{ch} \beta_k a + \frac{\beta_k a}{\operatorname{sh} \beta_k a} \right) G_k \cos \beta_k y + 2C_2 = f_2(y) + \\ + \sum_{p=1}^{\infty} (-1)^{p+1} \alpha_p^2 \{ D_p [\operatorname{sh} \alpha_p y - \alpha_p (b-y) \operatorname{ch} \alpha_p y] + C_p \operatorname{sh} \alpha_p b \varphi_{\alpha_p}^{(b)}(y) \} \\ (c \leq y \leq b) \end{aligned} \quad (1.8)$$

$$\begin{aligned} & \sum_{k=1}^{\infty} \alpha_k^2 \left(\alpha_k b D_k + \left[1 + \frac{\alpha_k b \operatorname{ch} \alpha_k b}{\operatorname{sh} \alpha_k b} \right] C_k \right) \cos \alpha_k x = \\ & = f_4(x) - \frac{\alpha_0}{2} - \sum_{p=1}^{\infty} \beta_p^2 \operatorname{sh} \beta_p \alpha \varphi_{\beta_p}^{(a)}(x) G_p \quad (0 \leq x \leq d) \\ & \sum_{k=1}^{\infty} \alpha_k D_k \cos \alpha_k x + \frac{g_0}{2} = \frac{E}{2} f_5(x) \quad (d \leq x \leq a) \end{aligned}$$

где

$$\varphi_{\alpha_k}^{(b)}(y) = \frac{1}{\operatorname{sh} \alpha_k b} \left[\operatorname{ch} \alpha_k y - \alpha_k b \frac{\operatorname{ch} \alpha_k (b-y)}{\operatorname{sh} \alpha_k b} - \alpha_k (b-y) \operatorname{sh} \alpha_k y \right] \quad (1.9)$$

Пользуясь точным решением парных уравнений по косинусам [1, 5, 6], а также учитывая соотношение (1.7), определение неизвестных постоянных сводим к решению бесконечных систем алгебраических уравнений

$$\begin{aligned} X_k(1 + M_k) &= Y_k H_k + \sum_{p=1}^{\infty} a_{kp} Z_p + a_k \\ Y_k &= \sum_{p=1}^{\infty} b_{kp}^{(1)} Y_p + \sum_{p=1}^{\infty} b_{kp}^{(2)} X_p + \sum_{p=1}^{\infty} b_{kp}^{(3)} Z_p + d_k \\ Z_k &= \sum_{p=1}^{\infty} c_{kp}^{(1)} Z_p + \sum_{p=1}^{\infty} c_{kp}^{(2)} X_p + \sum_{p=1}^{\infty} c_{kp}^{(3)} Y_p + f_k \end{aligned} \quad (1.10)$$

где

$$\begin{aligned} a_{kp} &= \frac{4\alpha_k^2}{b} (-1)^{k+p+1} (1 - N_p) \frac{\beta_p}{(\beta_p^2 + \alpha_k^2)^2} \\ b_{kp}^{(1)} &= -\frac{k}{2} M_p I_{kp}^{(2)}(w_0), \quad b_{kp}^{(2)} = \frac{k}{2} H_p I_{kp}^{(2)}(w_0) \\ b_{kp}^{(3)} &= \frac{k}{2} \frac{a}{b} (1 - N_p) W_{\nu_p k}^{(2)}(w_0), \quad c_{kp}^{(1)} = \frac{k}{2} N_p I_{kp}^{(1)}(z_0) \\ c_{kp}^{(2)} &= \frac{k}{2} \frac{b}{a} (-1)^p W_{\nu_p k}^{(1)}(z_0), \quad c_{kp}^{(3)} = \frac{k}{2} \frac{b}{a} (-1)^p U_{\nu_p k}(z_0) \end{aligned} \quad (1.11)$$

$$\begin{aligned} d_k &= \frac{k}{2} \int_{w_0}^{\tilde{w}_0} F_4^*(\theta) y_k(\cos \theta) \operatorname{tg} \frac{\theta}{2} d\theta + \frac{k}{2} \int_0^{w_0} F_5^*(\theta) y_k(\cos \theta) \operatorname{tg} \frac{\theta}{2} d\theta + \\ & + \frac{\alpha_0}{2} z_k(\cos w_0) \end{aligned}$$

$$\begin{aligned} f_k &= \frac{k}{2} \frac{b}{a} \int_0^{\tilde{z}_0} F_1^*(\theta) z_k(\cos \theta) \operatorname{ctg} \frac{\theta}{2} d\theta + \frac{k}{2} \frac{b}{a} \int_{z_0}^{\tilde{z}_0} F_2^*(\theta) z_k(\cos \theta) \operatorname{ctg} \frac{\theta}{2} d\theta + \\ & + 2 \frac{b}{a} C_2 y_k(\cos z_0) \end{aligned}$$

$$M_k = \frac{2\alpha_k b + 1 - e^{-2\alpha_k b}}{2 \operatorname{sh}^2 \alpha_k b}, \quad N_k = \frac{2\beta_k a - 1 - e^{-2\beta_k a}}{\operatorname{sh} 2\beta_k a + 2\beta_k a}$$

$$H_k = \frac{\operatorname{sh} \alpha_k b + \alpha_k b \operatorname{ch} \alpha_k b}{\operatorname{sh}^2 \alpha_k b}$$

$$I_{kp}^{(1)}(z_0) = \int_0^{\pi_0} z_k(\cos \theta) z_p(\cos \theta) \operatorname{ctg} \frac{\theta}{2} d\theta$$

$$I_{kp}^{(2)}(w_0) = \int_0^{w_0} y_k(\cos \theta) y_p(\cos \theta) \operatorname{tg} \frac{\theta}{2} d\theta$$

$$U_{\xi_p}^{(1)}(z_0) = \int_{z_0}^{\pi} z_k(\cos \theta) M_{\xi_p}(\cos \theta) \operatorname{ctg} \frac{\theta}{2} d\theta$$

$$W_{\xi_p}^{(1)}(z_0) = \int_{z_0}^{\pi} z_k(\cos \theta) L_{\xi_p}(\cos \theta) \operatorname{ctg} \frac{\theta}{2} d\theta$$

$$W_{\eta_p}^{(2)}(w_0) = \int_0^{w_0} y_k(\cos \theta) \bar{L}_{\eta_p}(\cos \theta) \operatorname{tg} \frac{\theta}{2} d\theta$$

$$M_{\xi}(\cos \theta) = -\frac{2\sqrt{2}}{\pi} \int_0^{\pi} \frac{\varphi_{\xi}^{(\pi)}(\pi - z) \sin \frac{z}{2} dz}{(\cos \theta - \cos z)^{1/2}}$$

$$\bar{L}_{\xi}(\cos \theta) = \frac{2\sqrt{2}}{\pi} \int_0^{\theta} \frac{\varphi_{\xi}^{(\pi)}(x) \cos \frac{x}{2} dx}{(\cos x - \cos \theta)^{1/2}}$$

$$L_{\xi}(\cos \theta) = \frac{2\sqrt{2}}{\pi} \int_0^{\pi} \frac{\varphi_{\xi}^{(\pi)}(x) \sin \frac{x}{2} dx}{(\cos \theta - \cos x)^{1/2}}$$

$$\xi_p = p \frac{b}{a}, \quad \eta_p = p \frac{a}{b}, \quad w_0 = \pi \frac{d}{a}, \quad z_0 = p \frac{c}{b}$$

$$F_1^*(\theta) = -\frac{\sqrt{2}}{\pi} E \int_0^{\theta} \frac{f_3\left(\frac{b}{\pi} z\right) \sin \frac{z}{2} dz}{(\cos z - \cos \theta)^{1/2}}$$

$$F_2^*(\theta) = -\frac{2\sqrt{2}}{\pi} \int_0^{\frac{\pi}{2}} \frac{f_2\left(\frac{bz}{\pi}\right) \sin \frac{z}{2} dz}{(\cos \theta - \cos z)^{1/2}}$$

$$F_4^*(\theta) = -\frac{\sqrt{2}}{\pi} E \int_0^{\frac{\pi}{2}} \frac{f_5\left(\frac{aw}{\pi}\right) \cos \frac{w}{2} dw}{(\cos \theta - \cos w)^{1/2}}$$

$$F_5^*(\theta) = -\frac{2\sqrt{2}}{\pi} \int_0^{\theta} \frac{f_4\left(\frac{aw}{\pi}\right) \cos \frac{w}{2} dw}{(\cos w - \cos \theta)^{1/2}}$$

а функции $y_k(\cos \theta)$ и $z_k(\cos \theta)$ представляют собой соответственно сумму и разность полиномов Лежандра [1].

Неизвестные коэффициенты C_k, D_k, G_k определяются через X_k, Y_k, Z_k из следующих соотношений:

$$X_k = \alpha_k^2 [D_k \operatorname{ch} \alpha_k b + C_k \operatorname{sh} \alpha_k b], \quad Y_k = \alpha_k^2 D_k \quad (1.12)$$

$$Z_k = \frac{b}{a} \beta_k^2 G_k \left[\operatorname{ch} \beta_k a + \frac{\beta_k a}{\operatorname{sh} \beta_k a} \right]$$

а коэффициенты A_k, B_k и F_k — из соотношения (1.5). Для свободных членов парных уравнений получены следующие выражения [2]:

$$g_0 \frac{\pi}{a} = - \sum_{p=1}^{\infty} M_p Y_p \frac{z_p(\cos w_0)}{p} + \sum_{p=1}^{\infty} X_p H_p \frac{z_p(\cos w_0)}{p} +$$

$$+ \sum_{p=1}^{\infty} \frac{Z_p(1-N_p)}{p \operatorname{sh} \gamma_p \pi} [-\gamma_p W_{\gamma_p}(\cos w_0) + (2 - \pi \gamma_p \operatorname{cth} \gamma_p \pi) Z_{\gamma_p}(\cos w_0)] +$$

$$(1.13)$$

$$+ \int_{\frac{w_0}{2}}^{\frac{\pi}{2}} F_4^*(\theta) \operatorname{tg} \frac{\theta}{2} d\theta + \int_0^{\frac{w_0}{2}} F_5^*(\theta) \operatorname{tg} \frac{\theta}{2} d\theta +$$

$$+ \frac{\pi}{a} E f_5(a) - 2a_0 \ln \cos \frac{w_0}{2}$$

$$\pi C_2 - 4C_2 \frac{b}{a} \ln \sin \frac{z_0}{2} = \pi \nu \frac{a_0}{4} + \frac{1}{2} \sum_{p=1}^{\infty} N_p Z_p \frac{y_p(\cos z_0)}{p} +$$

$$+ \frac{1}{2} \sum_{p=1}^{\infty} (-1)^{p+1} \frac{X_p}{p} [K_{\xi_p}(\cos z_0) - H_{\xi_p}(\cos z_0)] + \frac{1}{2} \sum_{p=1}^{\infty} (-1)^{p+1} \frac{Y_p}{p} \times$$

$$\begin{aligned} & \times [P_{\varepsilon_p}(\cos z_0) - N_{\varepsilon_p}(\cos z_0)] - \frac{1}{2} \frac{b}{a} \int_0^{\pi} F_1^*(\theta) \operatorname{ctg} \frac{\theta}{2} d\theta - \\ & - \frac{1}{2} \frac{b}{a} \int_{\pi_0}^{\pi} F_2^*(\theta) \operatorname{ctg} \frac{\theta}{2} d\theta + \frac{\pi}{a} \frac{E}{2} f_3(0) \end{aligned}$$

Здесь

$$\begin{aligned} K_p(\cos \theta) &= \frac{2\sqrt{2}}{\pi \operatorname{sh} p\pi} \int_0^{\pi} \frac{\operatorname{sh} px \cos \frac{x}{2} dx}{(\cos \theta - \cos x)^{1/2}} \\ H_p(\cos \theta) &= \frac{2\sqrt{2}}{\pi} \int_0^{\pi} \frac{\psi_p^{(\pi)}(x) \cos \frac{x}{2} dx}{(\cos \theta - \cos x)^{1/2}} \\ P_p(\cos \theta) &= \frac{2\sqrt{2}}{\pi \operatorname{sh} p\pi} \int_0^{\pi} \frac{\operatorname{sh} p(\pi - z) \cos \frac{z}{2} dz}{(\cos \theta - \cos z)^{1/2}} \\ N_p(\cos \theta) &= \frac{2\sqrt{2}}{\pi} \int_0^{\pi} \frac{\psi_p(\pi - z) \cos \frac{z}{2} dz}{(\cos \theta - \cos z)^{1/2}} \\ Z_p(\cos \theta) &= \frac{2\sqrt{2}}{\pi} \int_0^{\theta} \frac{\operatorname{sh} px \sin \frac{x}{2} dx}{(\cos x - \cos \theta)^{1/2}} \\ W_p(\cos \theta) &= \frac{2\sqrt{2}}{\pi} \int_0^{\theta} \frac{x \operatorname{ch} px \sin \frac{x}{2} dx}{(\cos x - \cos \theta)^{1/2}} \end{aligned} \quad (1.14)$$

$$\psi_{\alpha_k}^{(b)}(y) = \frac{1}{\operatorname{sh} \alpha_k b} \left[\operatorname{sh} \alpha_k y + \alpha_k b \frac{\operatorname{sh} \alpha_k (b-y)}{\operatorname{sh} \alpha_k b} - \alpha_k (b-y) \operatorname{ch} \alpha_k y \right]$$

Докажем, что бесконечная система (1.10) в общем случае квази-полне регулярна. Для этого оценим суммы модулей коэффициентов при неизвестных

$$\sum_{p=1}^{\infty} |\alpha_{kp}| = \frac{4\alpha_k^2}{b} \sum_{p=1}^{\infty} (1 - N_p) \frac{\beta_p}{(\beta_p^2 + \alpha_k^2)^2} < \frac{4\alpha_k^2}{b} \sum_{p=1}^{\infty} \frac{\beta_p}{(\beta_p^2 + \alpha_k^2)^2} =$$

$$\begin{aligned}
 &= \frac{4a_k^2 \pi b^4}{b^2 \pi^4} \sum_{p=1}^{\infty} \frac{p}{\left[p^2 + \left(\frac{a_k b}{\pi} \right)^2 \right]^2} < \frac{4a_k^2 b^2}{\pi^3} \int_0^{\pi} \frac{x dx}{\left[x^2 + \left(\frac{a_k b}{\pi} \right)^2 \right]^2} = \\
 &= \frac{4a_k^2 b^2}{2\pi^3} \frac{\pi^2}{a_k^2 b^2} = \frac{2}{\pi} < 1
 \end{aligned}$$

Пользуясь асимптотическими разложениями функций $y_k(x)$, $z_k(x)$, $Y_k(x)$, $Z_k(x)$ для больших значений k [1, 2], а также разложениями функций

$$M_k(\cos \theta) \sim O(k^{1/2} e^{-k(\pi-\theta)})$$

$$L_k(\cos \theta) \sim O\left(\frac{1}{k^3}\right)$$

нетрудно заметить, что коэффициенты бесконечных систем $b_{kp}^{(i)}$, $c_{kp}^{(i)}$ ($i=1, 2, 3$) по „ k “ имеют порядок $\frac{1}{\sqrt{k}}$, а по „ p “ они стремятся к нулю достаточно быстро ($O\left(\frac{1}{p^3}\right)$ или $O\left(\frac{1}{p} e^{-ap}\right)$, $a > 0$), поэтому суммы модулей этих коэффициентов по индексу „ p “ имеют такой же порядок стремления к нулю по „ k “, какой имеет каждый его член.

Например, если принять $M_p < mp^{-3/2}$, то

$$\begin{aligned}
 \sum_{p=1}^{\infty} |b_{kp}^{(1)}| &= \frac{k}{2} \sum_{p=1}^{\infty} M_p |I_{kp}^{(2)}(w_0)| < \frac{k}{2} \left[\sum_{p=k} M_p |I_{kp}^{(2)}(w_0)| + M_k \frac{2}{k} \right] < \\
 < \frac{mk}{2} \left[\frac{2}{k^{5/2}} + \frac{1}{\sqrt{k}} \sum_{p=k} \frac{1}{p^2 |p-k|} \right] < \frac{mk}{2} \left[\frac{2}{k^{5/2}} + \frac{1}{\sqrt{k}} \frac{\text{const}}{k} \right] = O\left(\frac{1}{\sqrt{k}}\right)
 \end{aligned}$$

Таким образом,

$$\sum_{p=1}^{\infty} |b_{kp}^{(i)}| = O\left(\frac{1}{k^{1/2}}\right), \quad \sum_{p=1}^{\infty} |c_{kp}^{(i)}| = O\left(\frac{1}{k^{1/2}}\right) \quad (i=1, 2, 3)$$

то есть, начиная с некоторого „ k “ суммы модулей коэффициентов бесконечных систем становятся меньше единицы. Свободные члены бесконечных систем ограничены по модулю и стремятся к нулю, как $O(k^{-1/2})$.

2. Подставляя найденные из бесконечных систем значения неизвестных коэффициентов в выражение функции Эри (1.4) и пользуясь известными формулами теории упругости, нетрудно получить выражения для перемещений

$$\begin{aligned}
Ev(x, y) = & \sum_{k=1}^{\infty} \frac{\cos \alpha_k x}{\alpha_k} \frac{1}{\operatorname{sh} \alpha_k b} \left\{ X_k \left[2 \operatorname{sh} \alpha_k y + (1 + \nu) \left(\alpha_k (b - y) \operatorname{ch} \alpha_k y - \right. \right. \right. \\
& \left. \left. \left. - \alpha_k b \frac{\operatorname{sh} \alpha_k (b - y)}{\operatorname{sh} \alpha_k b} \right) \right] + Y_k [2 \operatorname{sh} \alpha_k (b - y) - \right. \\
& \left. - (1 + \nu)(\alpha_k (b - y) \operatorname{ch} \alpha_k (b - y) - \alpha_k b \operatorname{cth} \alpha_k b \operatorname{sh} \alpha_k (b - y)) \right] + \\
& + \frac{a}{b} \sum_{k=1}^{\infty} \frac{\sin \beta_k y}{\beta_k} \frac{1}{\operatorname{sh} \beta_k a} (1 - N_k) Z_k \left\{ 2 \operatorname{ch} \beta_k x - (1 + \nu) \left[\operatorname{ch} \beta_k x + \right. \right. \\
& \left. \left. + \beta_k a \frac{\operatorname{ch} \beta_k (a - x)}{\operatorname{sh} \beta_k a} + \beta_k (a - x) \operatorname{sh} \beta_k x \right] \right\} + g_0 + \left(\frac{a_0}{2} - 2\nu C_2 \right) y \\
Eu(x, y) = & \sum_{k=1}^{\infty} \frac{\sin \alpha_k x}{\alpha_k} \frac{1}{\operatorname{sh} \alpha_k b} \left\{ X_k \left[2 \operatorname{ch} \alpha_k y - (1 + \nu)(\operatorname{ch} \alpha_k y + \right. \right. \\
& \left. \left. + \alpha_k b \frac{\operatorname{ch} \alpha_k (b - y)}{\operatorname{sh} \alpha_k b} + \alpha_k (b - y) \operatorname{sh} \alpha_k y \right] + \right. \\
& + Y_k \left[-2 \operatorname{ch} \alpha_k (b - y) + (1 + \nu)(\operatorname{ch} \alpha_k (b - y) + \alpha_k b \frac{\operatorname{ch} \alpha_k b \operatorname{ch} \alpha_k (b - y)}{\operatorname{sh} \alpha_k b} - \right. \\
& \left. - \alpha_k (b - y) \operatorname{sh} \alpha_k (b - y)) \right] \left. \right\} + \frac{a}{b} \sum_{k=1}^{\infty} \frac{\cos \beta_k y}{\beta_k} Z_k \frac{1}{\operatorname{sh} \beta_k a} (1 - N_k) \times \\
& \times \left\{ 2 \operatorname{sh} \beta_k x + (1 + \nu) \left[-\beta_k a \frac{\operatorname{sh} \beta_k (a - x)}{\operatorname{sh} \beta_k a} + \beta_k (a - x) \operatorname{ch} \beta_k x \right] \right\} + \\
& + \left(2C_2 - \nu \frac{a_0}{2} \right) x
\end{aligned}$$

и для напряжений

$$\begin{aligned}
\tau_{xy}(x, y) = & \frac{a}{b} \sum_{k=1}^{\infty} \sin \beta_k y (1 - N_k) \frac{Z_k}{\operatorname{sh} \beta_k a} \left\{ \beta_k a \frac{\operatorname{sh} \beta_k (a - x)}{\operatorname{sh} \beta_k a} - \right. \\
& \left. - \beta_k (a - x) \operatorname{ch} \beta_k x \right\} + \sum_{k=1}^{\infty} \sin \alpha_k x \frac{1}{\operatorname{sh} \alpha_k b} \left\{ \left[\alpha_k b \frac{\operatorname{sh} \alpha_k (b - y)}{\operatorname{sh} \alpha_k b} - \right. \right. \\
& \left. \left. - \alpha_k (b - y) \operatorname{ch} \alpha_k y \right] X_k - Y_k \left[\alpha_k b \frac{\operatorname{ch} \alpha_k b \operatorname{sh} \alpha_k (b - y)}{\operatorname{sh} \alpha_k b} - \right. \right. \\
& \left. \left. - \alpha_k (b - y) \operatorname{ch} \alpha_k (b - y) \right] \right\}
\end{aligned}$$

$$\begin{aligned}
\sigma_x(x, y) &= \sum_{k=1}^{\infty} \cos \alpha_k x \left[X_k \varphi_{\alpha_k}^{(b)}(y) + Y_k \varphi_{\alpha_k}^{(b)}(b-y) \right] + \\
&+ \frac{a}{b} \sum_{k=1}^{\infty} \cos \beta_k y \frac{Z_k}{\operatorname{sh} \beta_k a} (1 - N_k) \left[\operatorname{ch} \beta_k x + \frac{\beta_k a}{\operatorname{sh} \beta_k a} \operatorname{ch} \beta_k (a-x) + \right. \\
&\quad \left. + \beta_k (a-x) \operatorname{sh} \beta_k x \right] + 2C_2 \\
\sigma_y(x, y) &= \sum_{k=1}^{\infty} \frac{\cos \alpha_k x}{\operatorname{sh} \alpha_k b} \left\{ Y_k \left[-\operatorname{ch} \alpha_k (b-y) - \alpha_k b \frac{\operatorname{ch} \alpha_k b \operatorname{ch} \alpha_k (b-y)}{\operatorname{sh} \alpha_k b} + \right. \right. \\
&\quad \left. \left. + \alpha_k (b-y) \operatorname{sh} \alpha_k (b-y) \right] + X_k \left[\operatorname{ch} \alpha_k y + \frac{\alpha_k b \operatorname{ch} \alpha_k (b-y)}{\operatorname{sh} \alpha_k b} + \right. \right. \\
&\quad \left. \left. + \alpha_k (b-y) \operatorname{sh} \alpha_k y \right] \right\} + \frac{a}{b} \sum_{k=1}^{\infty} \cos \beta_k y Z_k (1 - N_k) \varphi_{\beta_k}^{(a)}(x) + \frac{a_0}{2}
\end{aligned} \tag{2.1}$$

Эти формулы верны для всех значений x и y . Но при вычислении напряжений и перемещений на границе области некоторые из этих рядов сходятся медленно из-за наличия особенностей у краев штампов. Для улучшения сходимости этих рядов подставим значения неизвестных X, Y, Z из бесконечных систем (1.10) в формулы для напряжений и перемещений, вычисленных на границе прямоугольника. После ряда выкладок для контактных напряжений и перемещений граничных точек вне контактов получим следующие выражения:

$$\begin{aligned}
\sigma_x \left(a, \frac{b}{\pi} z \right) &= \frac{Q \cos \frac{z}{2}}{(\cos z - \cos z_0)^{1/2}} + \\
&+ \frac{\sqrt{2}}{2} \cos \frac{z}{2} \left\{ \frac{a}{b} \sum_{p=1}^{\infty} Z_p N_p p \int_z^{z_0} \frac{y_p (\cos \theta) \operatorname{tg} \frac{\theta}{2} d\theta}{(\cos z - \cos \theta)^{1/2}} + \right. \\
&+ \sum_{p=1}^{\infty} (-1)^{p+1} X_p \xi_p \int_z^{z_0} \frac{H_{\xi_p}(\cos \theta) + K_{\xi_p}(\cos \theta)}{(\cos z - \cos \theta)^{1/2}} \operatorname{tg} \frac{\theta}{2} d\theta + \\
&+ \sum_{p=1}^{\infty} \xi_p (-1)^{p+1} Y_p \int_z^{z_0} \frac{N_{\xi_p}(\cos \theta) + P_{\xi_p}(\cos \theta)}{(\cos z - \cos \theta)^{1/2}} \operatorname{tg} \frac{\theta}{2} d\theta + \\
&\left. + \int_z^{z_0} \frac{F_1^{**}(\theta) d\theta}{(\cos z - \cos \theta)^{1/2}} + \int_{z_0}^{\pi} \frac{F_2^{**}(\theta) d\theta}{(\cos z - \cos \theta)^{1/2}} \right\} \\
&\quad (0 \leq z \leq z_0)
\end{aligned} \tag{2.2}$$

$$\begin{aligned}
 J_y\left(\frac{a}{\pi} w, 0\right) &= \frac{R \sin \frac{w}{2}}{(\cos w_0 - \cos w)^{1/2}} + \\
 &+ \frac{\sqrt{2}}{2} \sin \frac{w}{2} \left\{ - \sum_{p=1}^{\infty} p M_p Y_p \int_w^{w_0} \frac{z_p(\cos \theta) \operatorname{ctg} \frac{\theta}{2} d\theta}{(\cos \theta - \cos w)^{1/2}} + \right. \\
 &+ \sum_{p=1}^{\infty} p X_p H_p \int_w^{w_0} \frac{z_p(\cos \theta) \operatorname{ctg} \frac{\theta}{2} d\theta}{(\cos \theta - \cos w)^{1/2}} - \\
 &- \frac{a}{b} \sum_{p=1}^{\infty} \tau_p (1 - N_p) Z_p \int_w^{w_0} \frac{\bar{H}_{\tau_p}(\cos \theta) + \bar{K}_{\tau_p}(\cos \theta)}{(\cos \theta - \cos w)^{1/2}} \operatorname{ctg} \frac{\theta}{2} d\theta - \\
 &\left. - \int_{w_0}^w \frac{F_4^{**}(\theta) d\theta}{(\cos \theta - \cos w)^{1/2}} - \int_w^{w_0} \frac{F_5^{**}(\theta) d\theta}{(\cos \theta - \cos w)^{1/2}} \right\} \\
 &\quad (w_0 \leq w \leq \pi)
 \end{aligned}$$

$$\begin{aligned}
 Eu\left(a, \frac{b}{\pi} z\right) &= Ef_3(0) - 8C_2 \frac{b}{\pi} \ln \frac{\sin \frac{z}{2} + \sqrt{\sin^2 \frac{z}{2} - \sin^2 \frac{z_0}{2}}}{\sin \frac{z_0}{2}} + \\
 &+ 2 \frac{a}{\pi} \sum_{p=1}^{\infty} \frac{N_p}{p} Z_p (1 - \cos pz) + 2 \frac{a}{\pi} \frac{\sin \frac{z}{2}}{\sin \frac{z_0}{2}} \sum_{p=1}^{\infty} \frac{N_p}{p} Z_p (\cos pz_0 - 1) - \\
 &- \sqrt{2} \frac{b}{\pi} \sin \frac{z}{2} \left\{ \sum_{p=1}^{\infty} (-1)^p X_p \int_{z_0}^z \frac{L_{\varepsilon_p}(\cos \theta) \operatorname{ctg} \frac{\theta}{2} d\theta}{(\cos \theta - \cos z)^{1/2}} + \right. \\
 &+ \sum_{p=1}^{\infty} (-1)^p Y_p \int_{z_0}^z \frac{M_{\varepsilon_p}(\cos \theta) \operatorname{ctg} \frac{\theta}{2} d\theta}{(\cos \theta - \cos z)^{1/2}} + \\
 &\left. + \int_0^{z_0} \frac{F_1^*(\theta) \operatorname{ctg} \frac{\theta}{2} d\theta}{(\cos \theta - \cos z)^{1/2}} + \int_{z_0}^z \frac{F_2^*(\theta) \operatorname{ctg} \frac{\theta}{2} d\theta}{(\cos \theta - \cos z)^{1/2}} \right\} \\
 &\quad (z_0 \leq z \leq \pi)
 \end{aligned}$$

$$\begin{aligned}
 Ev\left(\frac{a}{\pi} w, 0\right) &= Ef_5(a) + 2 \frac{a}{\pi} a_0 \ln \frac{\cos \frac{w}{2} + \sqrt{\cos^2 \frac{w}{2} - \cos^2 \frac{w_0}{2}}}{\cos \frac{w_0}{2}} \\
 &- 2 \frac{a}{\pi} \sum_{p=1}^{\infty} \frac{M_p}{p} Y_p [\cos pw - (-1)^p] + 2 \frac{a}{\pi} \sum_{p=1}^{\infty} \frac{H_p}{p} X_p [\cos pw - (-1)^p] + \\
 &+ \frac{a}{\pi} \sqrt{2} \cos \frac{w}{2} \left\{ \sum_{p=1}^{\infty} M_p Y_p \int_{w_0}^{\pi} \frac{y_p(\cos \theta) \operatorname{tg} \frac{\theta}{2} d\theta}{(\cos w - \cos \theta)^{1/2}} - \right. \\
 &\quad \left. - \sum_{p=1}^{\infty} X_p H_p \int_{w_0}^{\pi} \frac{y_p(\cos \theta) \operatorname{tg} \frac{\theta}{2} d\theta}{(\cos w - \cos \theta)^{1/2}} + \right. \\
 &\quad \left. + \frac{a}{b} \sum_{p=1}^{\infty} Z_p (1 - N_p) \int_w^{w_0} \frac{\bar{L}_{\gamma_p}(\cos \theta) \operatorname{tg} \frac{\theta}{2} d\theta}{(\cos w - \cos \theta)^{1/2}} + \right. \\
 &\quad \left. + \int_{w_0}^{\pi} \frac{F_4^*(\theta) \operatorname{tg} \frac{\theta}{2} d\theta}{(\cos w - \cos \theta)^{1/2}} + \int_w^{w_0} \frac{F_5^*(\theta) \operatorname{tg} \frac{\theta}{2} d\theta}{(\cos w - \cos \theta)^{1/2}} \right\} \\
 &\quad (0 \leq w \leq w_0)
 \end{aligned}$$

где

$$z = \frac{\pi y}{b}, \quad w = \frac{\pi x}{a}$$

а коэффициенты при особенностях напряжений определяются формулами

$$\begin{aligned}
 R &= \frac{\sqrt{2}}{2} \left\{ - \sum_{p=1}^{\infty} M_p Y_p y_p(\cos w_0) + \sum_{p=1}^{\infty} X_p H_p y_p(\cos w_0) - F_4^*(w_0) + \right. \\
 &\quad \left. + F_5^*(w_0) + \frac{a}{b} \sum_{p=1}^{\infty} Z_p (1 - N_p) \bar{L}_{\gamma_p}(\cos w_0) + a_0 \right\} \quad (2.3)
 \end{aligned}$$

$$Q = \frac{\sqrt{2}}{2} \left\{ - \frac{a}{b} \sum_{p=1}^{\infty} N_p Z_p z_p(\cos z_0) + \sum_{p=1}^{\infty} (-1)^p Y_p M_{\xi_p}(\cos z_0) - \right.$$

$$-F_1^*(z_0) + F_2^*(z_0) + 4C_2 + \sum_{p=1}^{\infty} (-1)^p X_p L_p(\cos \theta) \Big\}$$

Имея формулы контактных напряжений, вычислим силы и моменты, приложенные к штампам (фиг. 1)

$$P_1 = \frac{a_0 d}{2} - \int_0^d f_1(y) dy, \quad P_2 = 2C_2 b - \int_c^b f_2(y) dy \quad (2.4)$$

$$M_1 = -\frac{a-d}{2} P_1 - \sum_{k=1}^{\infty} \frac{(-1)^k - \cos \alpha_k d}{\alpha_k^2} [H_k X_k - (1 + M_k) Y_k] - \\ - \frac{a}{b} \sum_{p=1}^{\infty} Z_p \frac{1 - N_p}{\beta_p^2 \operatorname{sh} \beta_p a} \left[\frac{a \beta_p}{\operatorname{sh} \beta_p a} (1 - \operatorname{ch} \beta_p d \operatorname{ch} \beta_p a) + d \beta_p \operatorname{sh} \beta_p d + \right. \\ \left. + \operatorname{ch} \beta_p a - \operatorname{ch} \beta_p d \right]$$

$$M_2 = -\frac{c}{2} P_2 + c^2 C_2 - \frac{ab}{\pi^2} \sum_{k=1}^{\infty} Z_k \frac{\cos \beta_k c - 1}{k^2} + \quad (2.5)$$

$$+ \sum_{k=1}^{\infty} \frac{(-1)^{k+1}}{\alpha_k^2} X_k \frac{1}{\operatorname{sh} \alpha_k b} [-c \alpha_k \operatorname{sh} \alpha_k c + (\operatorname{ch} \alpha_k c - 1)(1 + \alpha_k b \operatorname{cth} \alpha_k b)] + \\ + \sum_{p=1}^{\infty} (-1)^{p+1} \frac{Y_p}{\alpha_p^2 \operatorname{sh} \alpha_p b} \left\{ c \alpha_p \operatorname{sh} \alpha_p (b - c) + \right. \\ \left. + \frac{b \alpha_p}{\operatorname{sh} \alpha_p b} (\operatorname{ch} \alpha_p c - 1) + \operatorname{ch} \alpha_p (b - c) - \operatorname{ch} \alpha_p b \right\}$$

Соотношения (2.4) выражают те линейные связи, которые существуют между силами, приложенными к штампам, и поступательными перемещениями этих штампов, а соотношения (2.5) устанавливают связь между моментами, приложенными к штампам, и углами поворота этих штампов.

3. Рассмотрим некоторые частные случаи.

а) Пусть $c = b$, то есть боковые штампы приложены по всей высоте. Тогда из бесконечных систем (1.10) имеем

$$Z_k (1 - N_k) = f_k, \quad Z_0 = \nu b \frac{a_0}{4} + \frac{1}{2} \frac{E}{a} \int_0^b f_1(x) dx$$

Подставляя значение Z_k в первое уравнение системы (1.10), получим

$$X_k(1 + M_k) - Y_k H_k = \gamma_k, \quad X_0 = 2C_1 a = \frac{a_0 a}{2}$$

где γ_k — известное число.

Остается только одна бесконечная система для определения Y_k . Такая задача ранее была рассмотрена в работе [3].

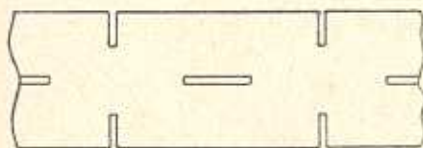
б) Пусть $d = 0$, то есть к прямоугольнику приложен штамп П-образной формы.

В этом случае

$$Y_k = d_k, \quad Y_0 = \frac{g_0}{2} = \frac{1}{2} \frac{E}{a} \int_0^a f_3(x) dx$$

и останутся две системы для определения X_k и Z_k .

Случай $f_3(x) = 0$ соответствует задаче сжатия прямоугольника двумя одинаковыми симметрично расположенными штампами.



Фиг. 2

в) Случай $d = a$, $c = 0$ соответствует задаче для прямоугольника, когда по всему контуру заданы напряжения. Случай $f_3(y) = f_5(x) = 0$ соответствует плоской задаче для бесконечной полосы с прямолинейными внутренними и наружными разрезами (фиг. 2).

4. В рассматриваемой задаче принималось, что материал прямоугольника соприкасается со штампами по всей длине.

В случае длинных штампов с гладкими и неволнистыми поверхностями возможен отрыв материала прямоугольника от краев штампов вплоть до точек $z_0^{(1)}$, $w_0^{(1)}$ ($z_0^{(1)} < z_0$, $w_0^{(1)} > w_0$). Например, если $f_3(y)$ и $f_5(x)$ — неубывающие функции и их первые две производные неотрицательны, очень вероятно, что материал прямоугольника отрывается от штампов от их концов z_0 , w_0 , но при этом в углах прямоугольника не происходит отрыва материала. В таких случаях положения точек отрыва $z_0^{(1)}$, $w_0^{(1)}$ определяются из условия непрерывности нормальных напряжений в точках отрыва, то есть из условий

$$\sigma_x(a, z_0^{(1)}) = f_2(z_0^{(1)}), \quad \sigma_y(w_0^{(1)}, 0) = f_4(w_0^{(1)}) \quad (4.1)$$

где $\sigma_x(a, z_0^{(1)})$ и $\sigma_y(w_0^{(1)}, 0)$ вычисляются по формулам (2.2). Так как регулярные части нормальных контактных напряжений в точках $z_0^{(1)}$ и $w_0^{(1)}$ принимают соответственно значения $f_2(z_0^{(1)})$ и $f_4(w_0^{(1)})$, то согласно условиям (4.1) коэффициенты при особенностях R и Q в формулах (2.2) для контактных нормальных напряжений должны обращаться в нуль

$$R = 0, \quad Q = 0 \quad (4.2)$$

Условия (4.2) в случае наличия отрыва материала от штампов являются уравнениями для определения координат точек отрыва.

Нетрудно видеть, что при фиксированных значениях $z_0^{(1)} = z_0$, $w_0^{(1)} = w_0$ условия (4.2) являются теми предельными связями между внешними усилиями, которые еще обеспечивают безотрывный контакт.

В случае, когда отрыв материала происходит только от одного из штампов, координата точки отрыва будет определена из уравнения

$$Q = 0$$

при отрыве материала от боковых штампов и из условия

$$R = 0$$

при отрыве от нижних штампов (оснований).

Институт механики
АН Армянской ССР

Поступила 10 V 1972

Ա. Ա. ԲՅԱԲԼՅԱՆ, Ն. Օ. ԳՈՒԿՅԱՆՅԱՆ

ՈՐՂՂԱՆԿՅԱՆ ՀԱՄԱՐ ԽԱՌԸ ԵՂՐԱՅԻՆ ՊԱՅՄԱՆՆԵՐՈՎ,
ԱՌԱՋԳԱԿԱՆՈՒԹՅԱՆ ՏԵՍՈՒԹՅԱՆ ՀԱՐԹ ԽՆԳԻՐԸ

Ա մ փ ո փ ո ռ մ

Լուծված է ուղղանկյան համար այն հարթ խնդիրը, երբ ուղղանկյան երեք կողմերում եզրային պայմանները տրված են խառը տեսքով, իսկ մի կողմի վրա տրվում է բեռը:

Ենթադրվում է, որ շոշափող բարձրությունը ամբողջ եզրագծով բացակայում են և ուղղանկյունը առկա է դադարների մաս տեղավորված կոշտ դրոշմներով:

Խնդիրը սկզբում բերվում է եռանկյունաշափտիկան գույզ հավասարումներից կազմված սխեմների, այնուհետև բվադիլիտիկն սեզույլար հանրահաշվական հավասարումների անվերջ սխեմների:

Գիտարկված են մի բանի մասնավոր դեպքեր պարամետրերի սահմանային արժեքների և տարրեր եզրային պայմանների համար:

A PLANE PROBLEM IN THE THEORY OF ELASTICITY FOR A RECTANGULAR REGION WITH MIXED BOUNDARY CONDITIONS

A. A. BABLOYAN, N. O. GULKANIAN

S u m m a r y

A plane problem for a rectangular region is solved where boundary conditions are given in a mixed form on its three sides, with loads given on the fourth.

It is assumed that tangent strains throughout the contour are non-existent and the rectangle is pressed on its three sides with rigid punches placed at its edges.

The problem is reduced first to a system of dual trigonometrical equations, and then to a quasiregular infinite system of linear algebraic equations.

Some particular cases for the limit values of parameters and for different boundary conditions are considered.

Л И Т Е Р А Т У Р А

1. Баблоян А. А. Решение некоторых парных уравнений, встречающихся в задачах теории упругости. ПММ, т. XXXI, вып. 4, 1967.
2. Баблоян А. А., Гулканян Н. О. Об одной смешанной задаче для прямоугольника. Изв. АН Арм. ССР, Механика, т. XXII, № 1, 1969.
3. Баблоян А. А., Мелконян А. П. Об одной смешанной задаче плоской теории упругости. Изв. АН АрмССР, Механика, т. XXIII, № 5, 1970.
4. Баблоян А. А., Миртчан А. М. Об одной смешанной задаче для прямоугольника. Изв. АН АрмССР, Механика, т. XXIV, № 5, 1971.
5. Tranter C. J. Dual trigonometrical series. Proc. Glasgow Math. Assoc., 1959, vol.4, № 2, p.p. 49-57.
6. Цейтлин А. И. О методе парных интегральных уравнений и парных рядов и его приложениях к задачам механики. ПММ, т. 30, вып. 2, 1966, стр. 259-270.